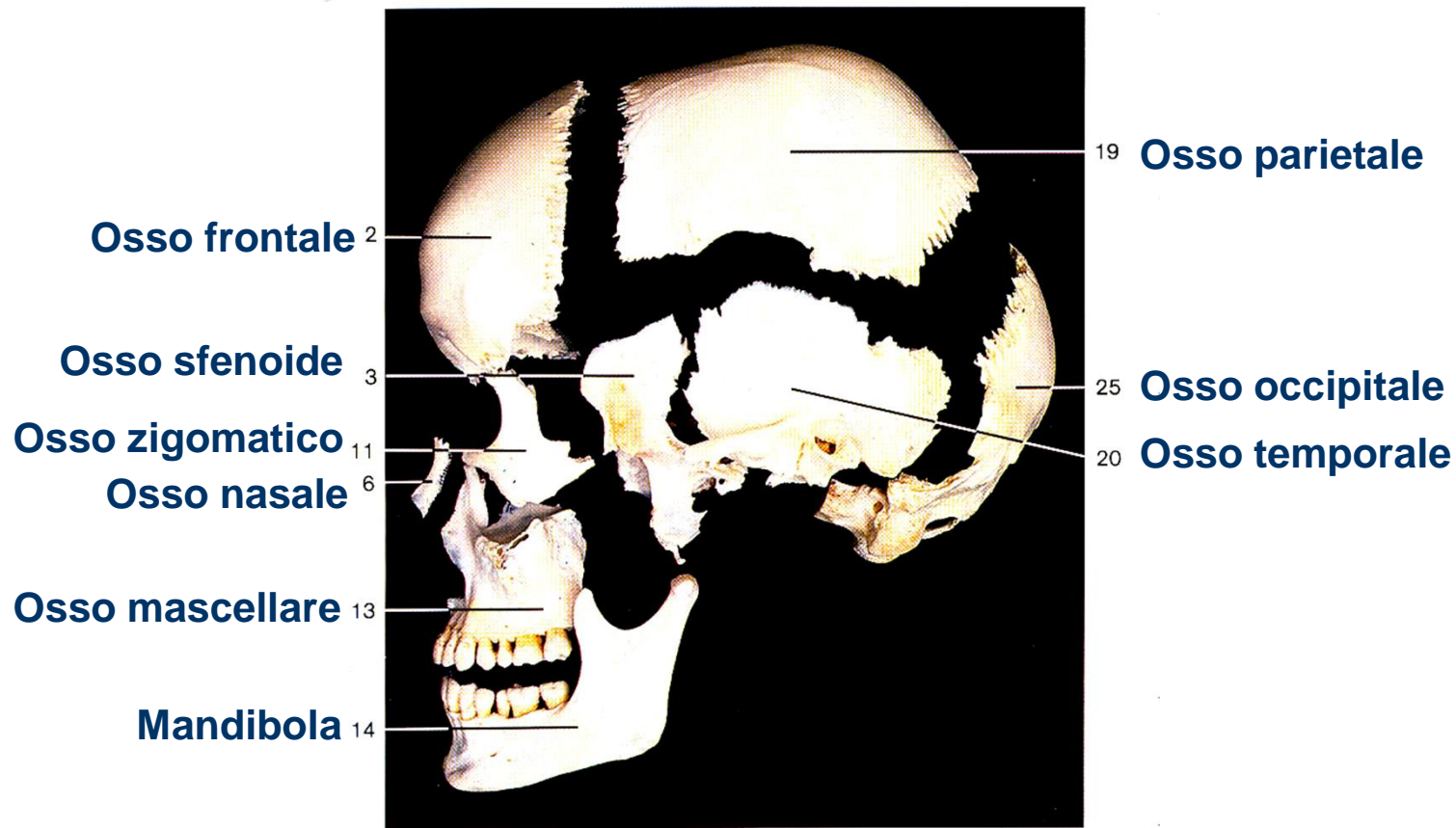


FIGURA 6-2

Suddivisione del cranio. Il cranio può essere diviso in parte cranica e parte facciale. Il cornetto nasale inferiore e le ossa palatine, che appartengono allo scheletro della faccia, non sono visibili in questa proiezione.

Neurocranio: circonda e protegge l'encefalo

Splanchnocranio: circonda la parte iniziale di apparato respiratorio e digerente



Ossa craniche disarticolate viste dalla faccia laterale
(il palatino, il lacrimale, l'etmoidale ed il vomere non sono
[rappresentati]).

Mandibola

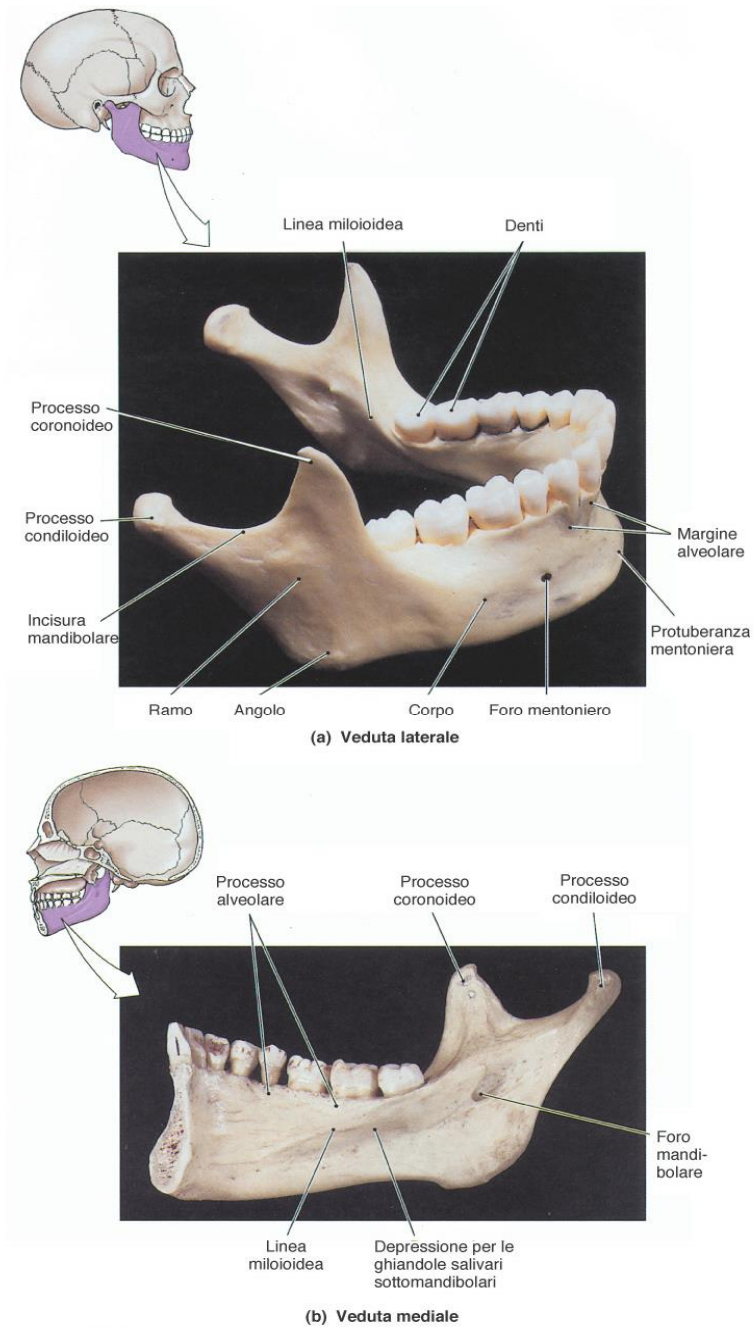


FIGURA 6-14
La mandibola. Immagini della mandibola che mostrano i principali limiti anatomici sulle (a) superfici superiore e laterale e sulla (b) superficie mediale della metà destra della mandibola.

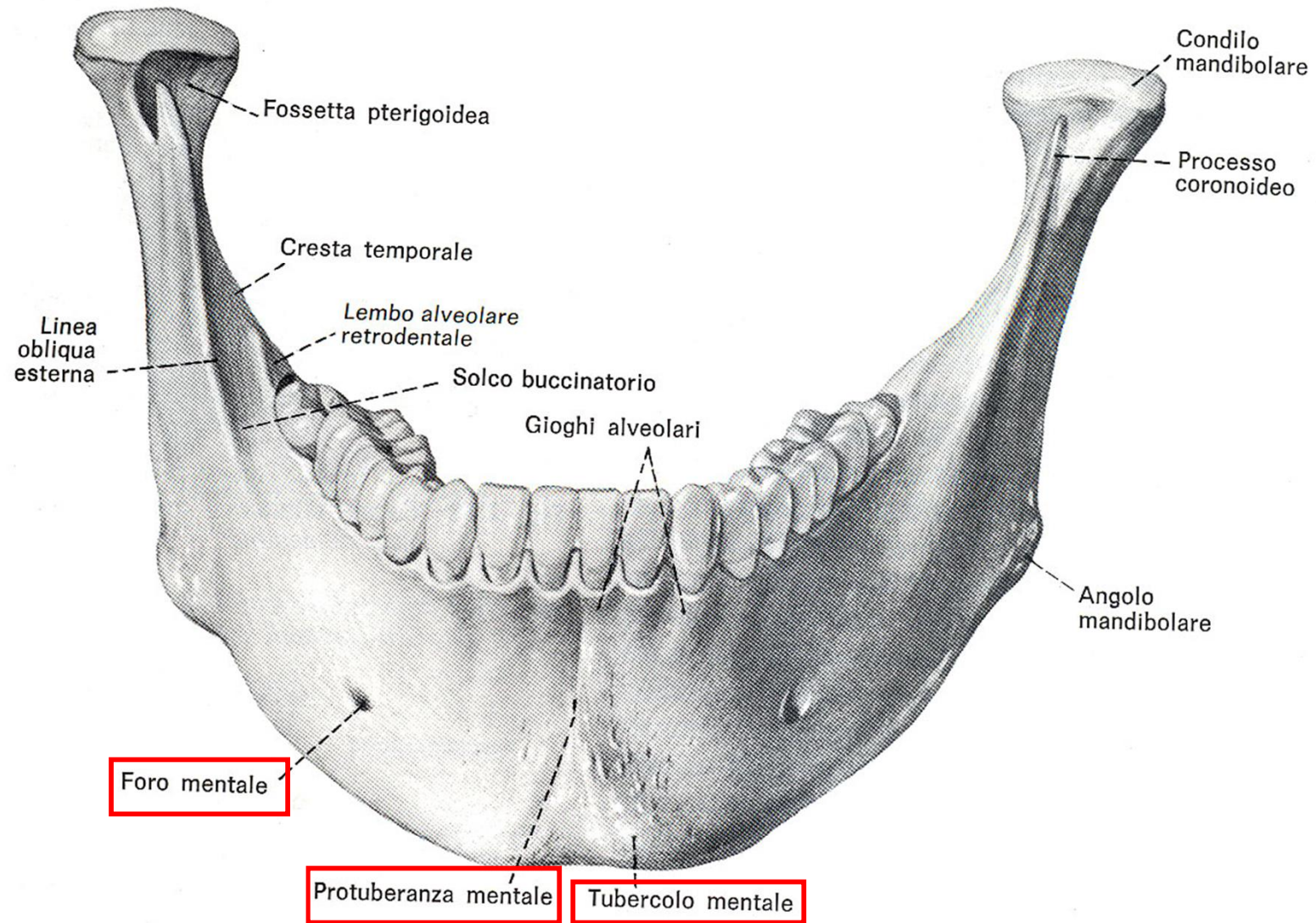
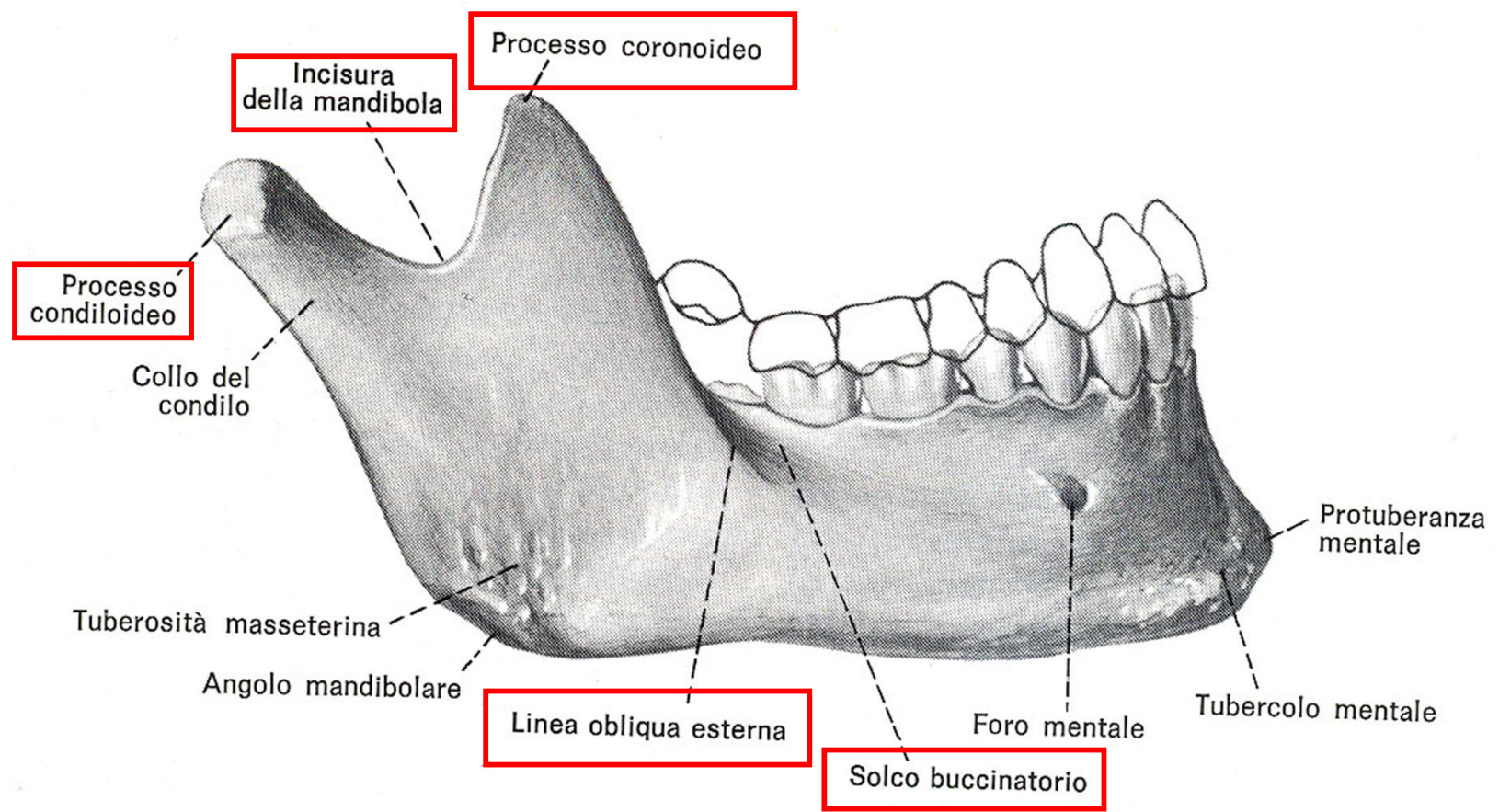


Fig. 2.71 Faccia esterna della mandibola in proiezione anteriore.



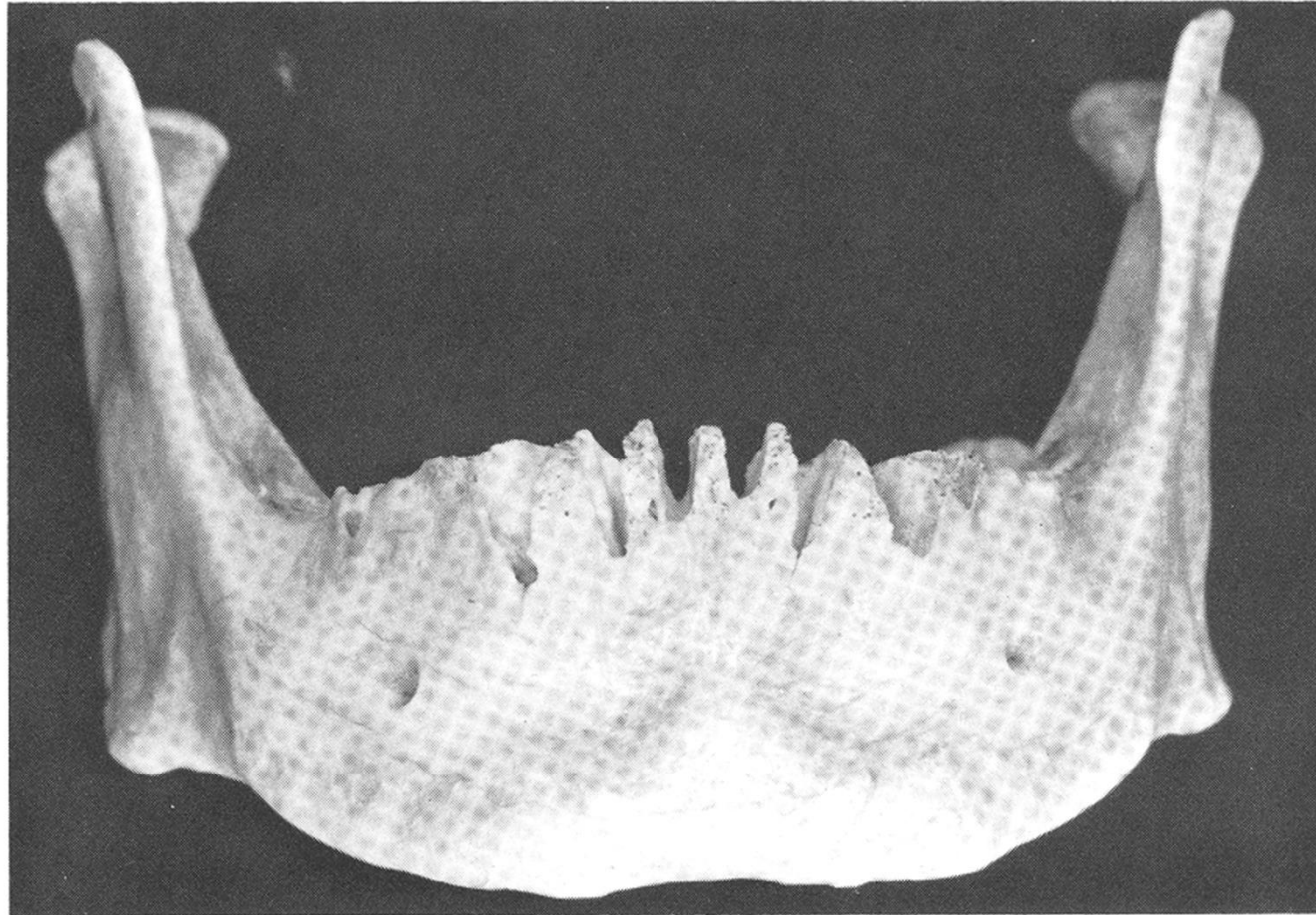


Figura 14-26. Cavità alveolari vuote, viste dall'avanti. Non si dimostrano processi patologici, ma soltanto un assottigliamento della corticale in corrispondenza degli alveoli degli incisivi e dei canini.

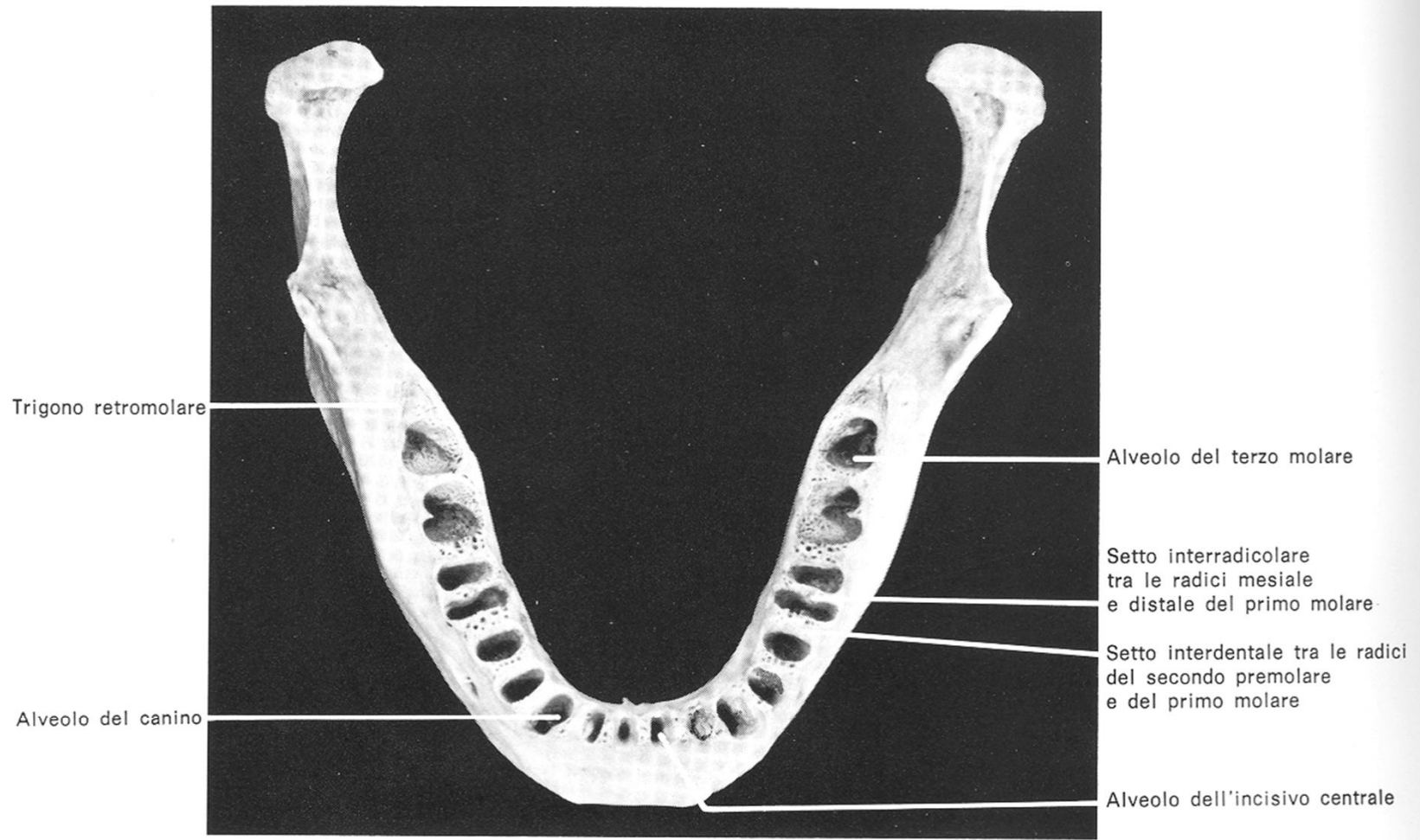
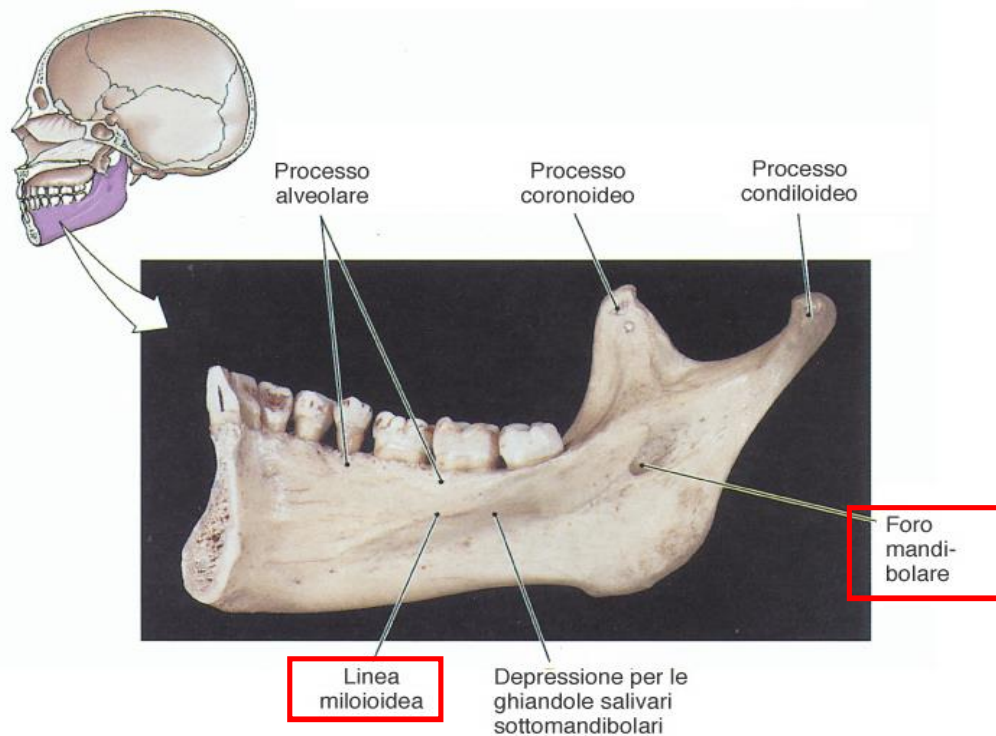
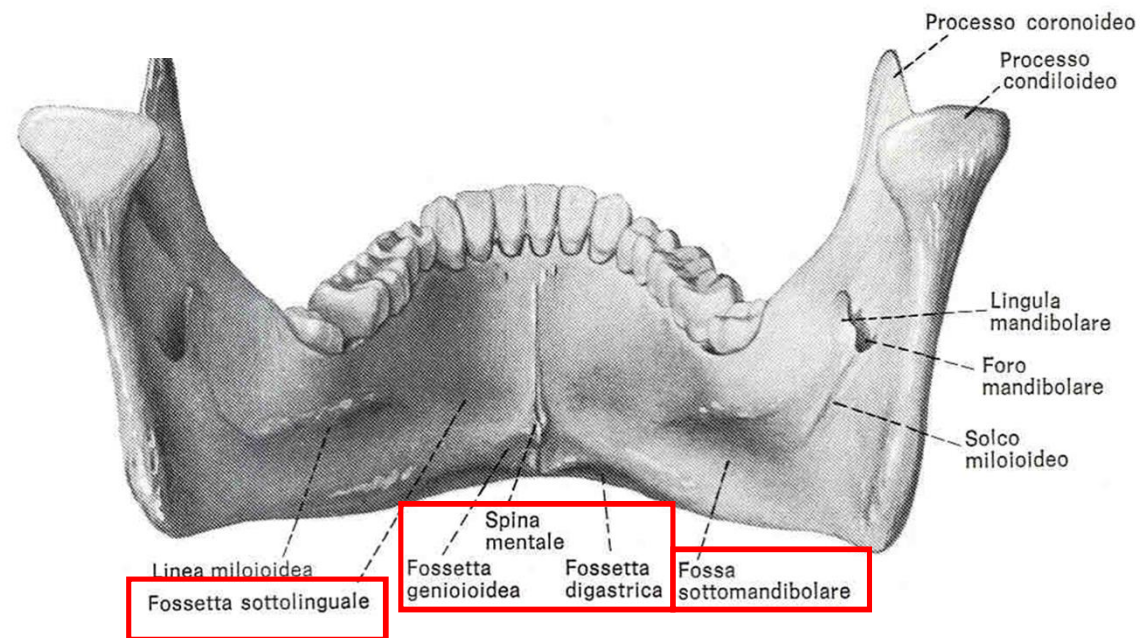
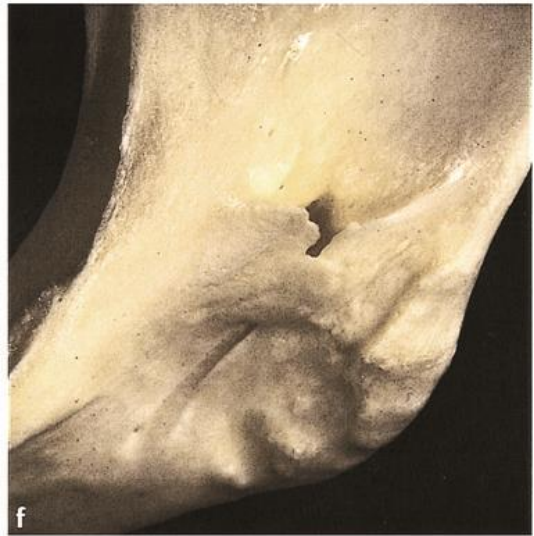
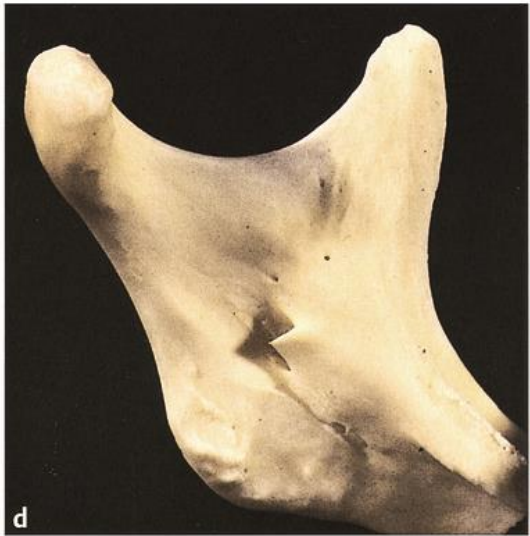
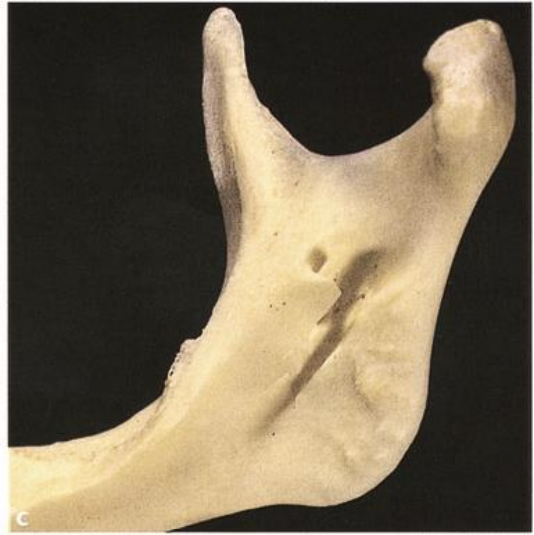
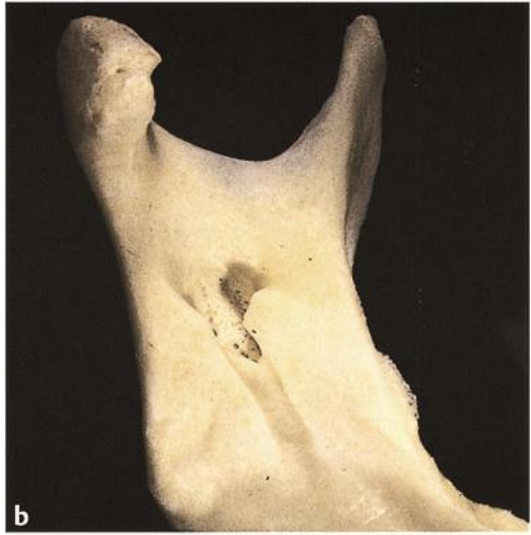
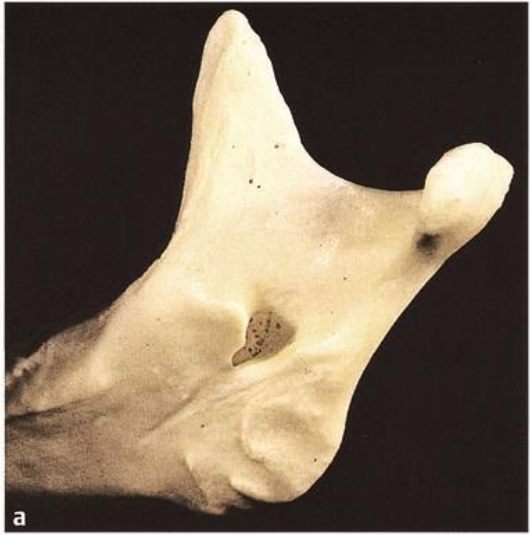


Figura 14-25. Il processo alveolare della mandibola con le cavità alveolari.



(b) Veduta mediale

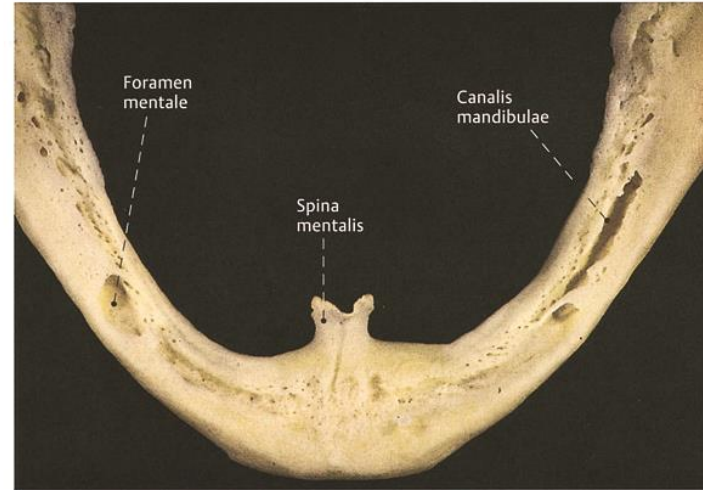




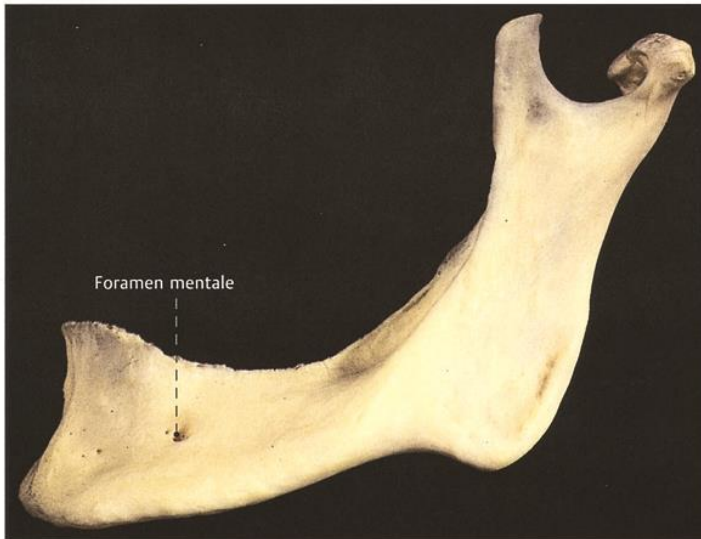
58 Mandibola - Modifiche dovute all'età



2.127 Atrofia molto avanzata, il foro mentoniero giace sulla superficie masticatoria (91 anni, donna).



2.128 Ampi fori mentonieri, canale mandibolare (a sinistra) sprovvisto di rivestimento osseo e spina mentoniera molto sporgente (83 anni, donna).



2.129 Atrofia dei processi alveolari nella parte posteriore; trasformazione a forma di pettine nella parte anteriore (75 anni, uomo).



2.130 Trasformazione a forma di pettine dei processi alveolari nella parte anteriore della mandibola (75 anni, uomo).

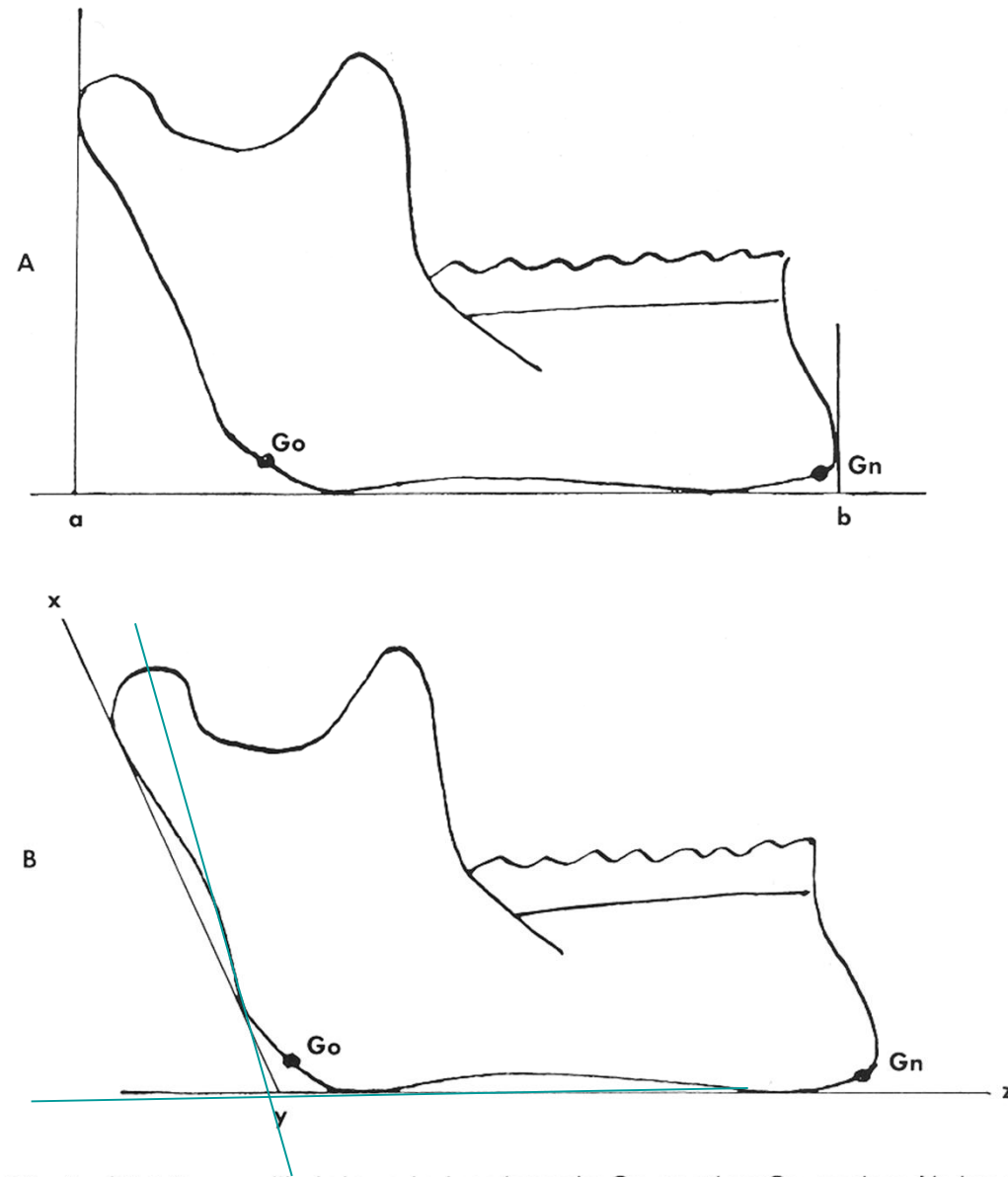
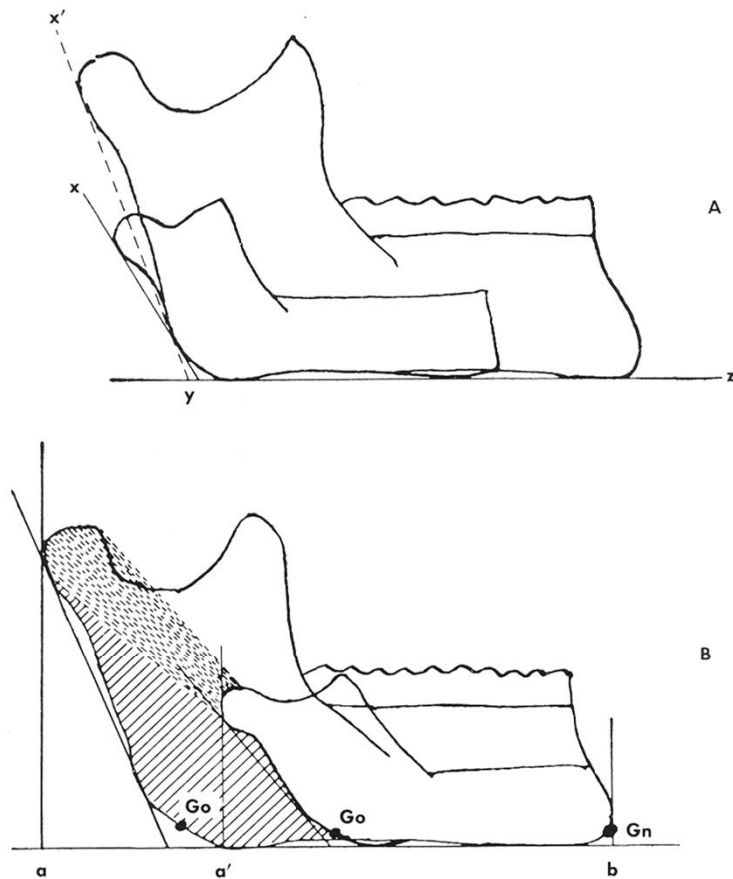


Fig. 2.89 Profili della mandibola in proiezione laterale; Gn, gnation; Go, gonion; Ab, lunghezza complessiva della mandibola; xyz, angolo condiloideo.



L'angolo condiloideo diminuisce con l'accrescimento della mandibola

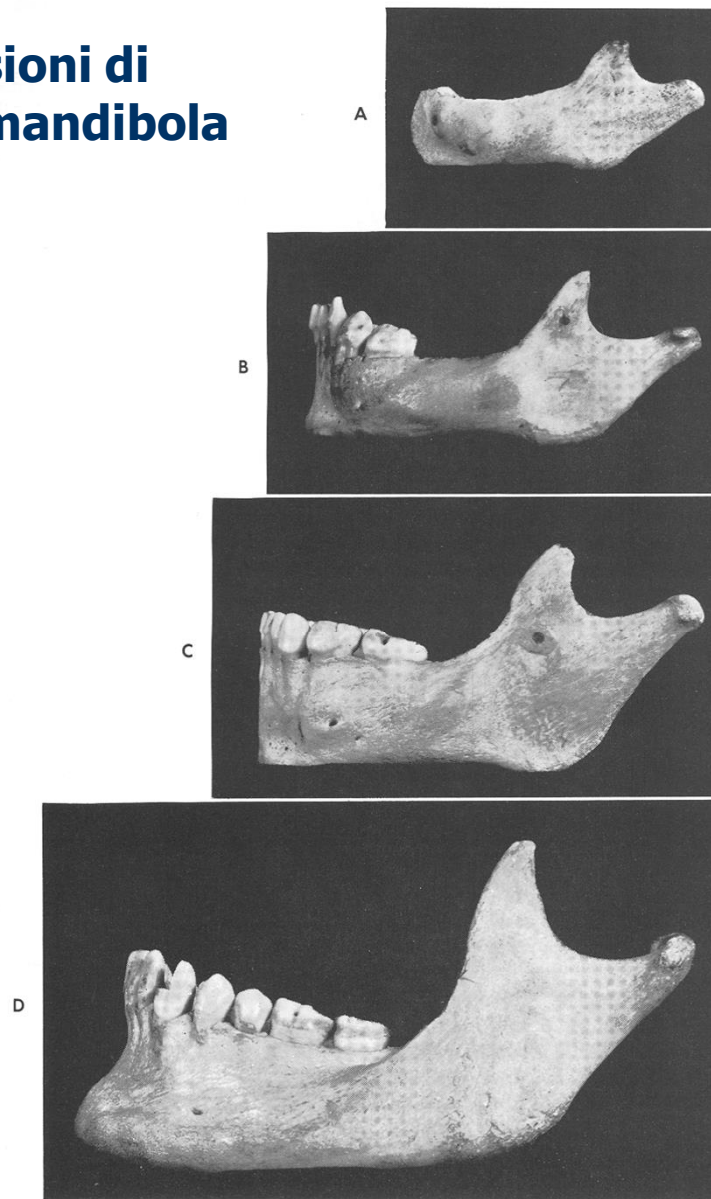
Fig. 2.90 Schemi che illustrano lo sviluppo della mandibola. A, sovrapposizione in corrispondenza del gonion dei profili della mandibola di un bambino e di un adulto. Si noti la diminuzione dell'angolo condiloideo da xyz a $x'yz$. L'apertura dell'angolo goniale resta invece imm modificata; B, sovrapposizione in corrispondenza dello gnation dei profili della mandibola di un bambino e di un adulto. L'area segnata con il tratteggio breve rappresenta la zona di sviluppo del ramo per accrescimento cartilagineo; l'area con il tratteggio lungo corrisponde all'area di sviluppo del ramo per accrescimento osseo apposizionale.



Fig. 2.92 Sovrapposizione dei contorni mandibolari in tre diversi stadi di sviluppo. Si noti la stabilità del contorno dell'angolo goniale e la modificazione di inclinazione del processo condiloideo rispetto al margine inferiore della mandibola.

L'angolo goniale rimane costante durante l'accrescimento della mandibola

I rapporti tra le dimensioni di corpo e processi della mandibola si modificano con l'età



14:

Fig. 2.91 Quattro stadi di sviluppo della mandibola. A, neonato; B, a 18 mesi; C, a 4 anni; D, a 16 anni.

Cranio: punti di repere

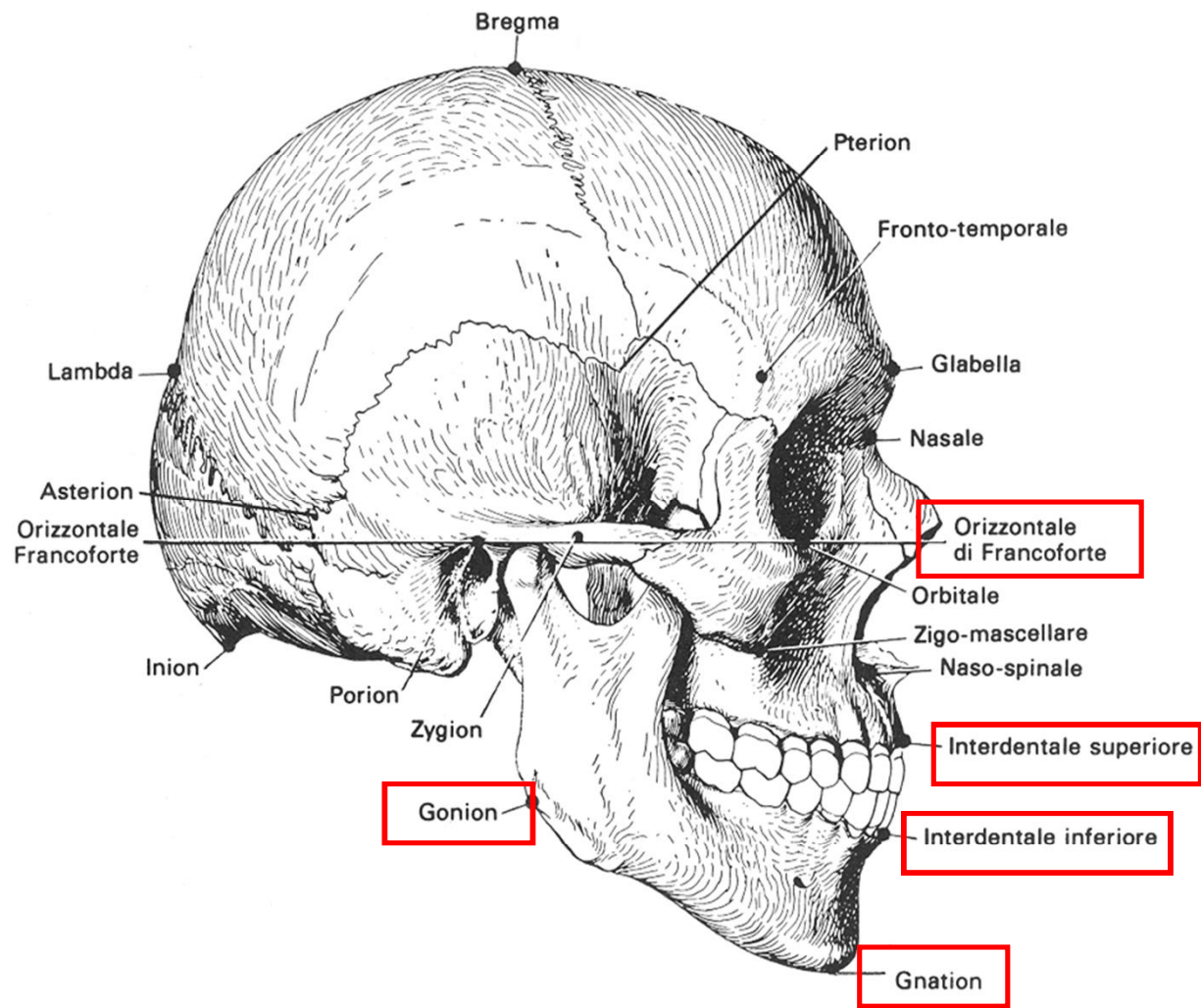
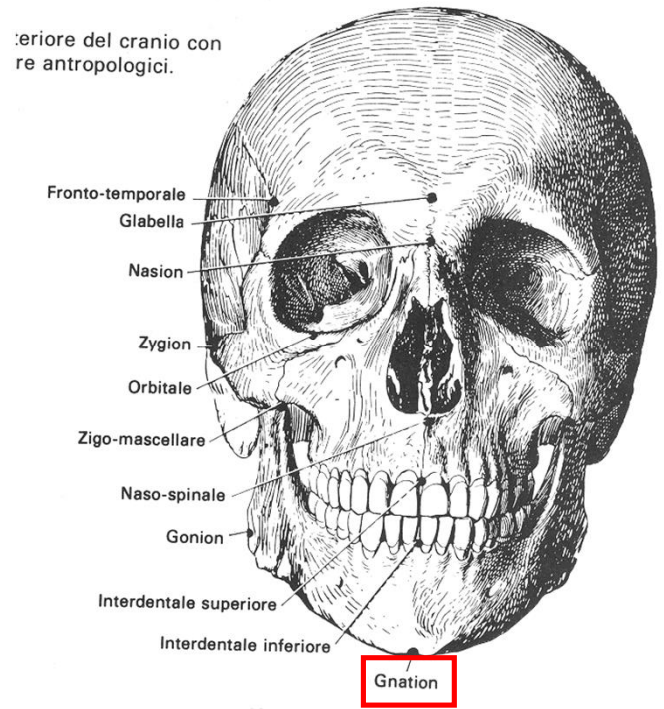
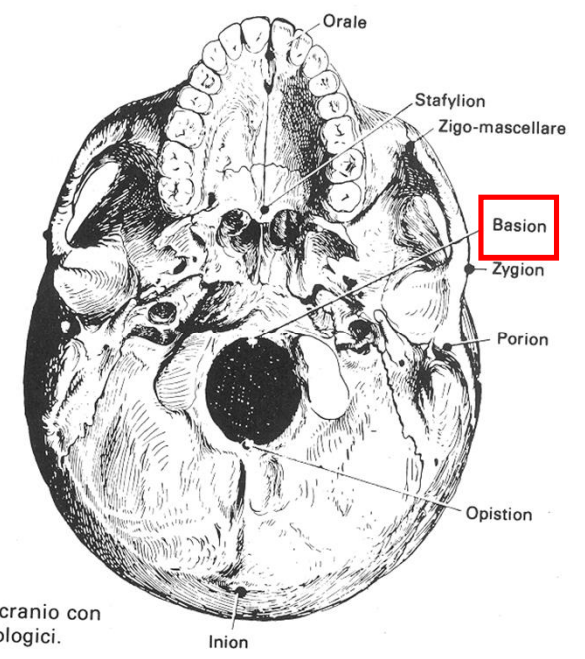


Fig. 2.73 Proiezione laterale del cranio con il piano orizzontale di Francoforte e i punti di repere antropologici.

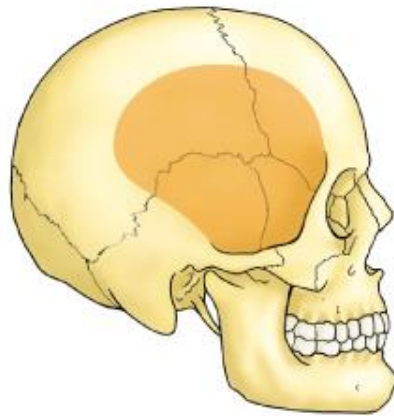


Anteriore del cranio con i punti di repere antropologici.



Posteriore del cranio con i punti di repere antropologici.

Cranio: Fosse esocraniche



Fossa temporale

Fossa temporale



Fossa infratemporale

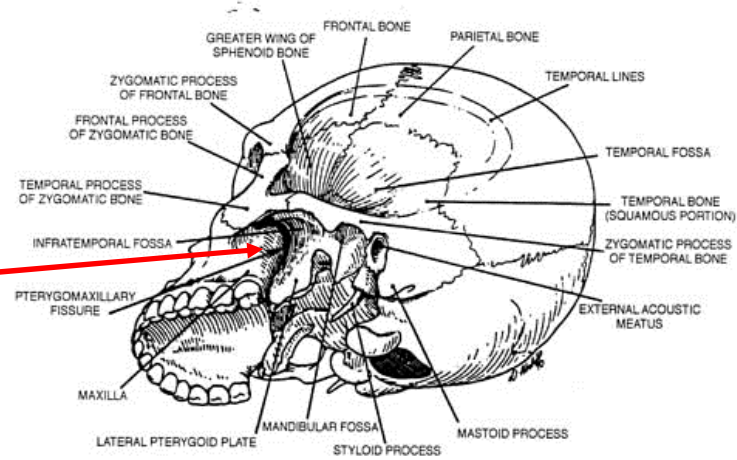
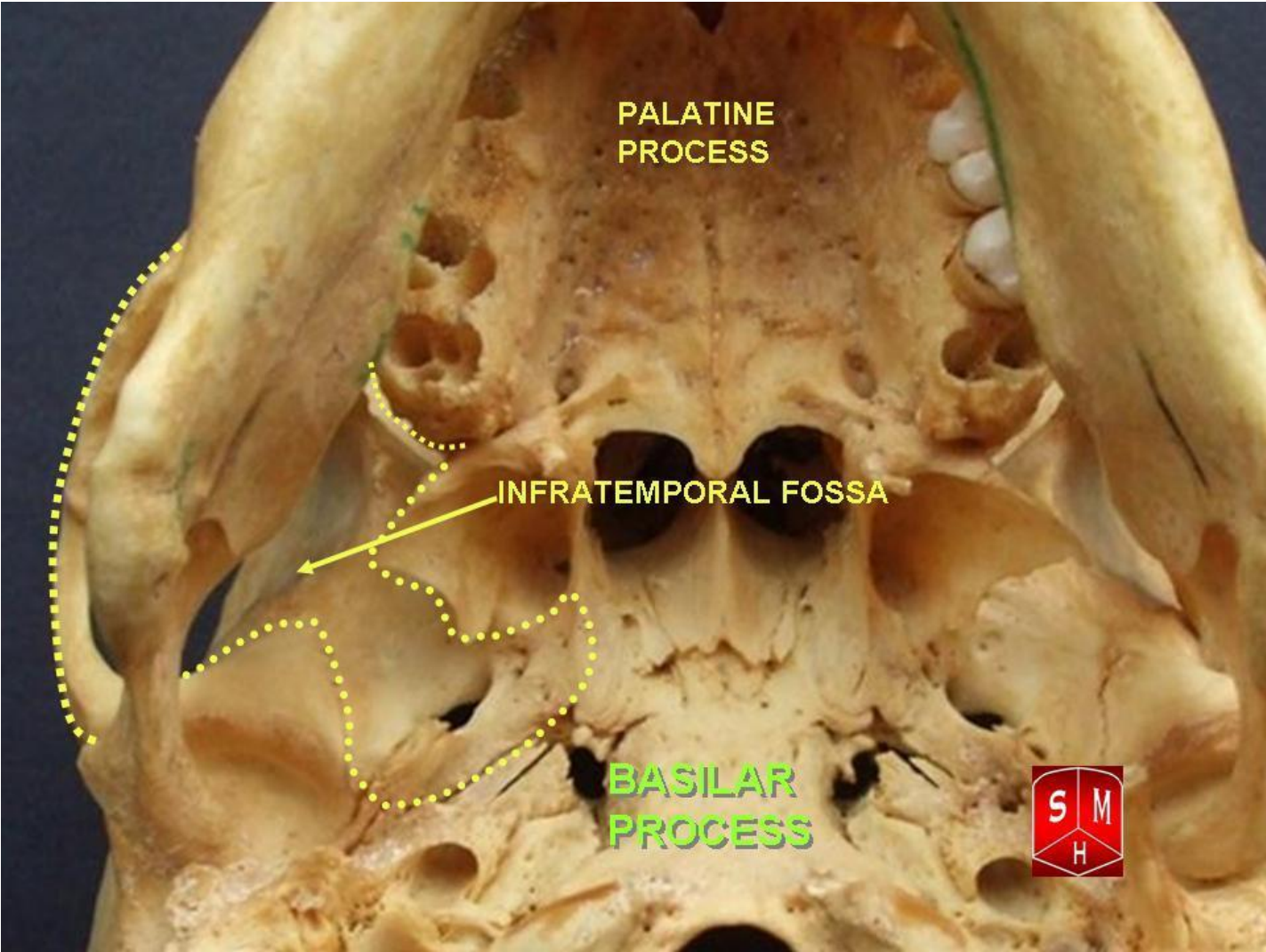


FIGURE 4

Fossa infratemporale



Fossa pterigopalatina

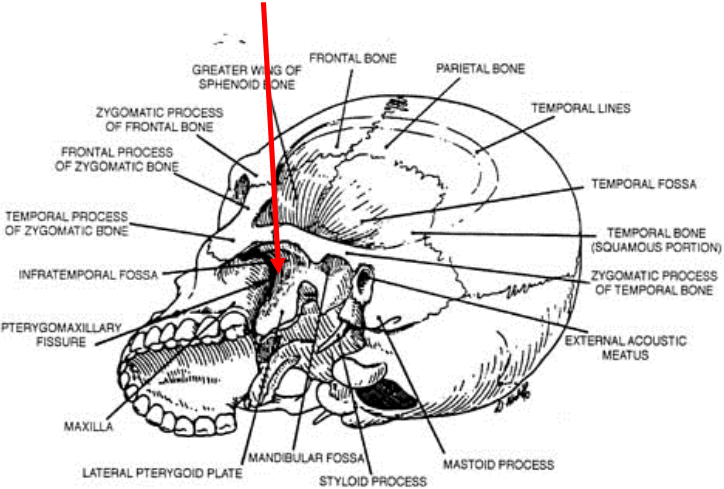
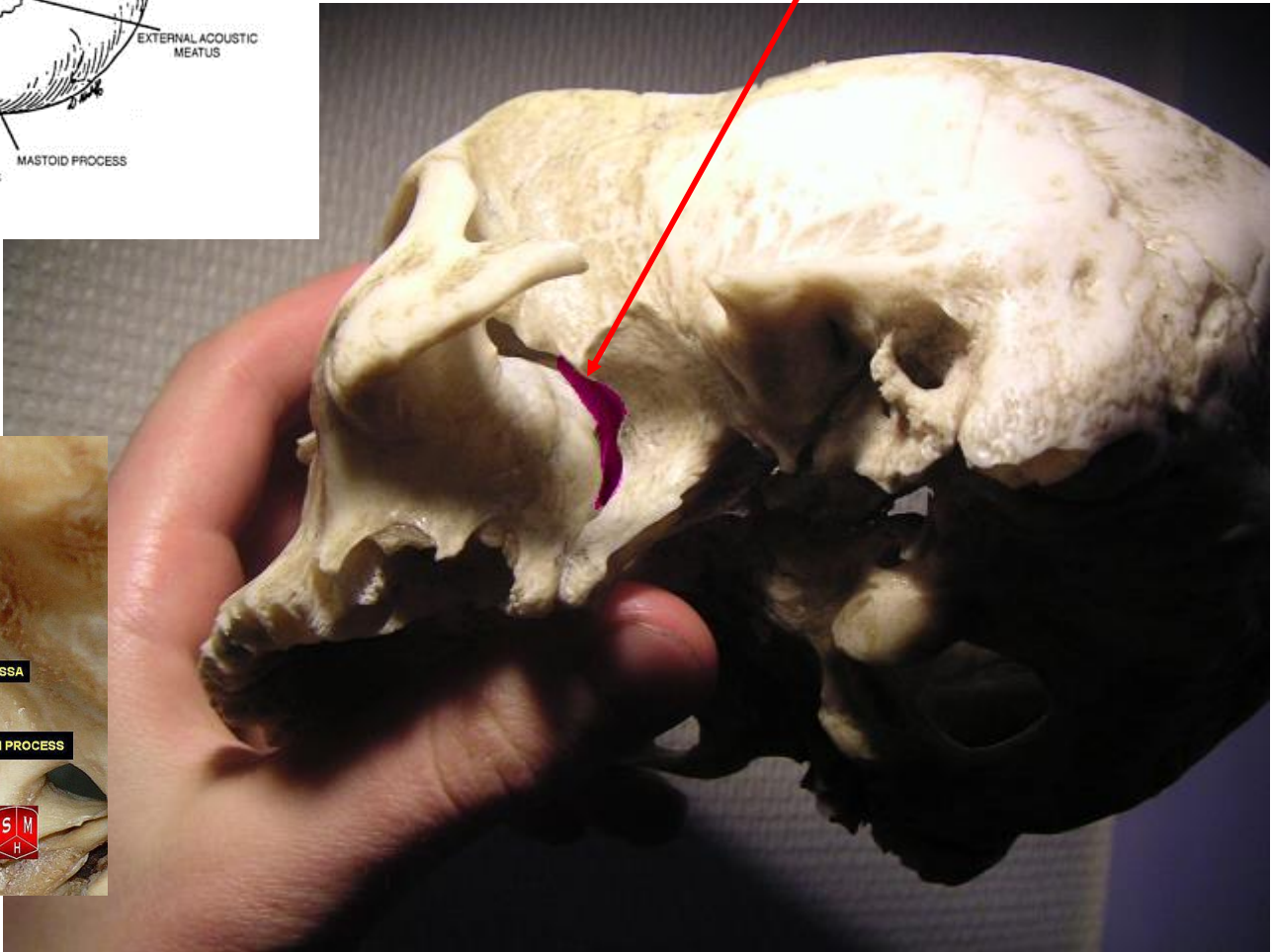
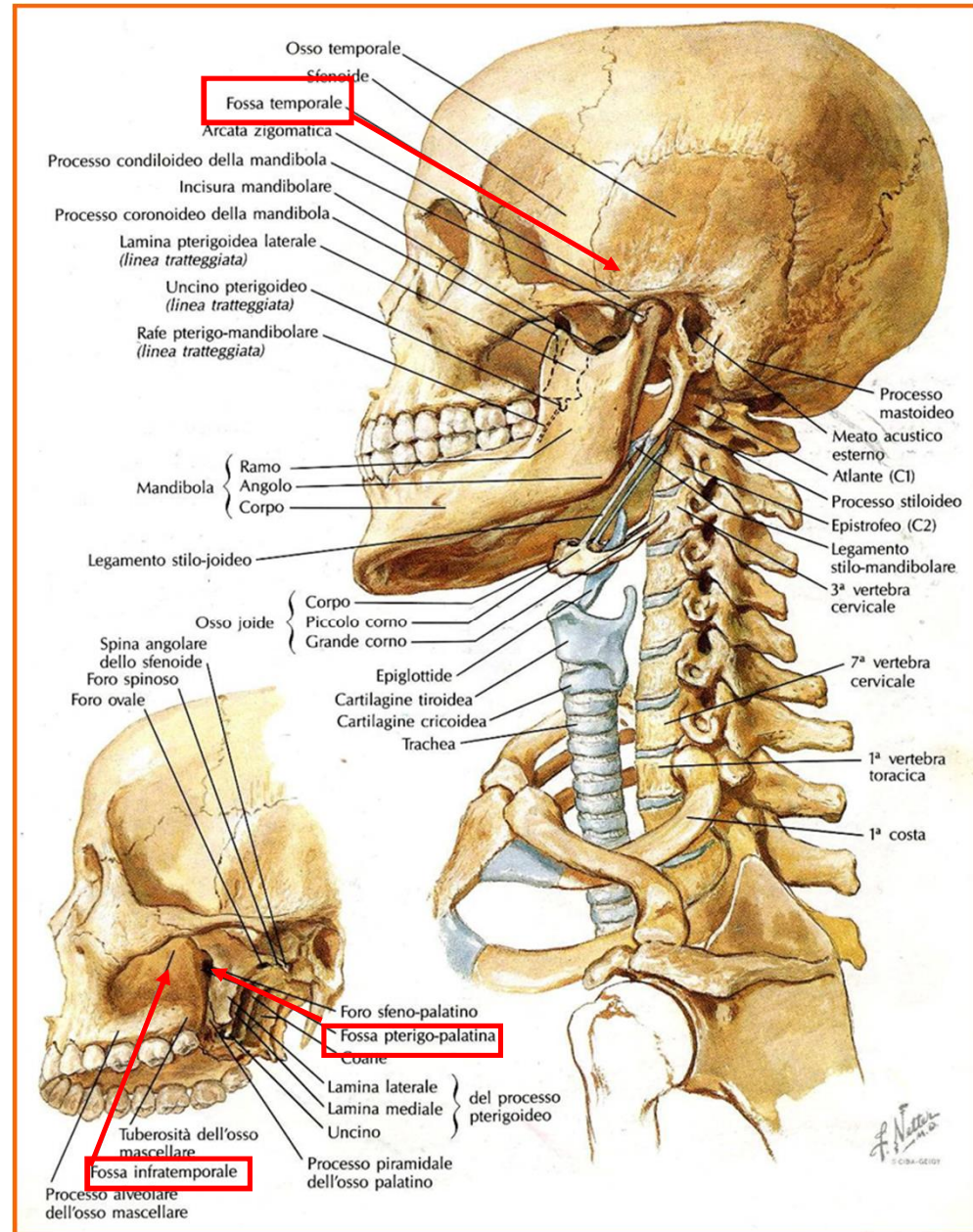


FIGURE 4

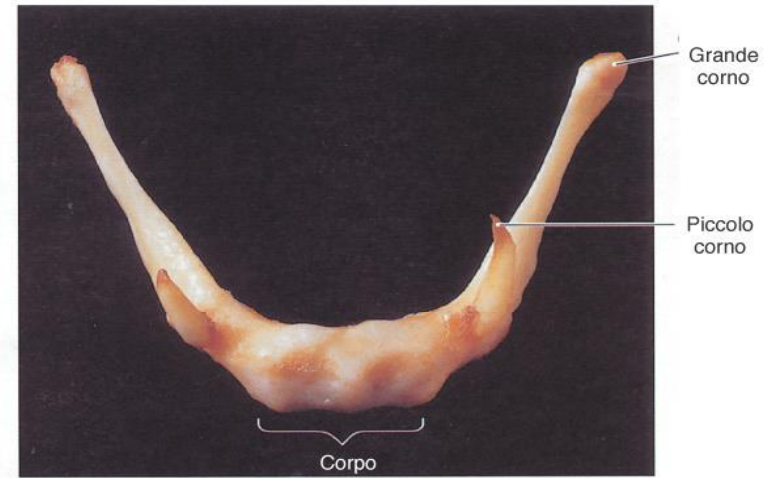
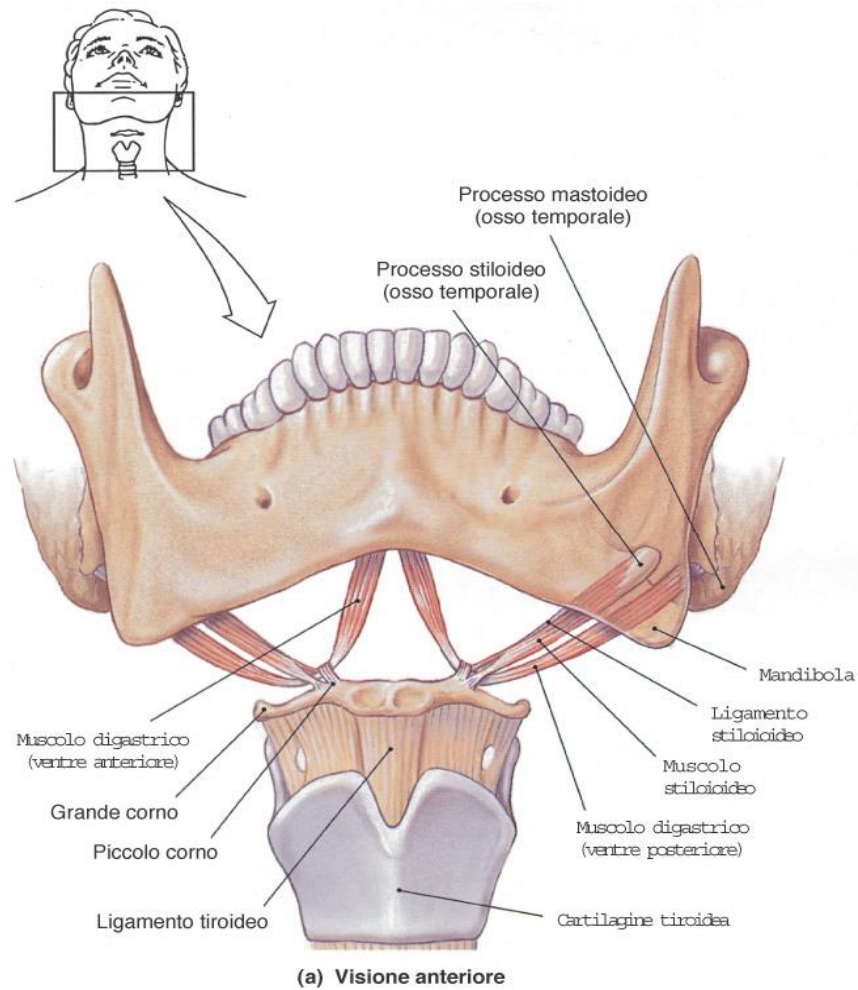
Fossa pterigopalatina



Cranio: Fosse esocraniche



Osso ioide



(b) Osso ioide, visione anteriore

FIGURA 6-17

L'osso ioide. L'immagine anteriore mostra (a) l'osso ioide e suoi rapporti con i muscoli della mandibola, della lingua e della laringe. (b) Osso ioide isolato.



2.160 Visione superiore dello ioide con curvatura a forma di parabola: le grandi e piccole corna sono fuse con il corpo dello ioide.



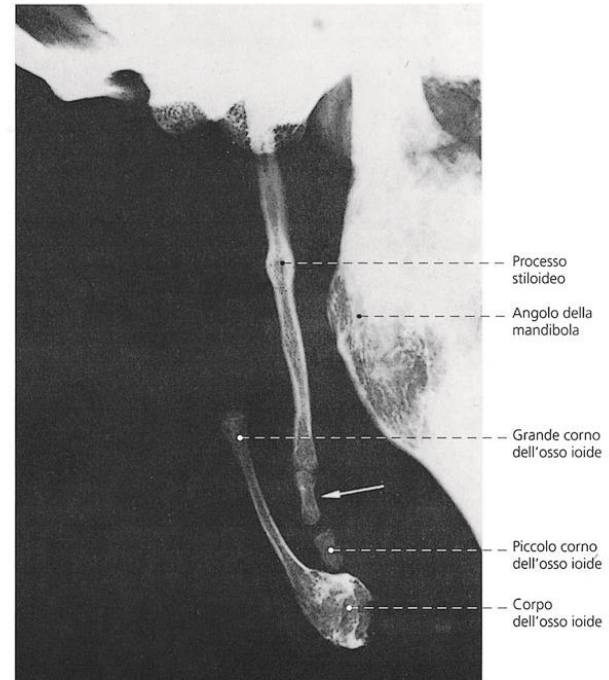
2.163 Visione inferiore dello ioide. Si noti la concavità nella regione del corpo dello ioide.



2.161 Visione superiore dello ioide. Sincondrosi tra il corpo dello ioide e le grandi corna (assenza delle piccole corna).



2.162 Visione superiore dello ioide con curvatura a forma di iperbole. A destra, sinostosi incompleta; a sinistra, sincondrosi tra il corpo e il grande corno dello ioide.



2.164 Radiografia in proiezione laterale della metà destra di un cranio con apofisi stiloidea. Tra l'apice del processo stiloideo e il piccolo corno dello ioide è presente un segmento osseo isolato (freccia). Il piccolo corno dello ioide non ha continuità ossea con il corpo dello ioide.